

УДК 547.1: 547.678.2

**В. В. Ведута, В. Ф. Аникин, Н. Ф. Федько**

Одесский национальный университет имени И. И. Мечникова,  
кафедра органической химии,  
ул. Дворянская, 2, 65082, Одесса, Украина,  
e-mail: vera.veduta@mail.ru

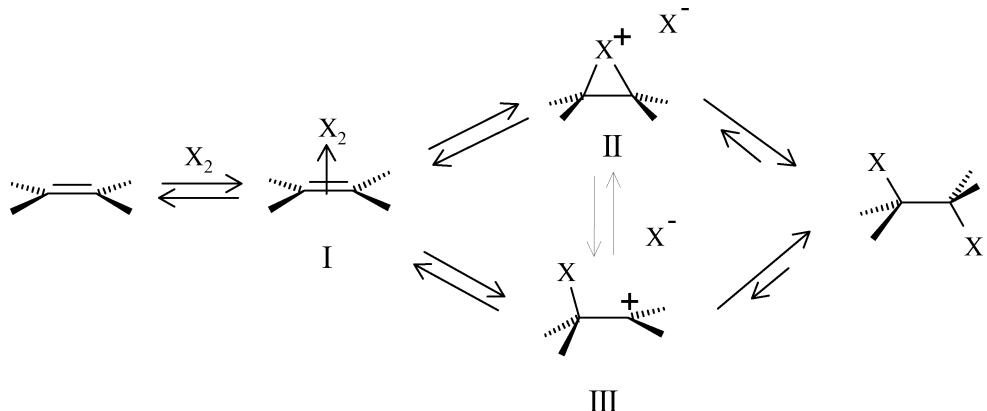
## СОВРЕМЕННЫЕ ПРЕДСТАВЛЕНИЯ О ПРИСОЕДИНЕНИИ МОЛЕКУЛЯРНЫХ ГАЛОГЕНОВ К ДВОЙНОЙ УГЛЕРОД-УГЛЕРОДНОЙ СВЯЗИ

Рассмотрены существующие подходы к интерпретации механизма реакции присоединения молекулярных галогенов к двойной углерод-углеродной связи. Показана актуальность дополнительных исследований стереохимии присоединения с целью выработки более общей модели механизма электрофильного галогенирования.

**Ключевые слова:** электрофильное присоединение, стереохимия, алкены, галогены, аценафтилен.

Реакция присоединения молекулярных галогенов к алкенам является одной из наиболее общих и часто применяемых в органическом синтезе [1]. Механизм этого процесса был предметом многочисленных исследований, результаты которых обобщены в обзорах [2–6]. Однако, появляющиеся в литературе новые факты не всегда укладываются в рамки существующих представлений. Целью настоящей работы есть анализ существующих в настоящее время подходов к интерпретации механизма электрофильного галогенирования алkenов.

Подавляющее большинство известных экспериментальных данных укладывается в рамки дискретного электрофильного механизма.



На первой стадии из исходных веществ образуется  $\pi$ -комплекс I, превращающийся затем в тесную ионную пару ( $\text{II}-\text{X}^-$ ,  $\text{III}-\text{X}^-$ ), которая в средах с высокой сольватирующей способностью может превращаться в сольватно-разделенную. Затем в результате т. н. «схлопывания» ионной пары образуется продукт присоединения. Лимитирующей стадией всего процесса является ионизация

$\pi$ -комплекса I с образованием ионных пар. Скорость образования конечных продуктов зависит от скорости превращения интермедиатов II, III и их абсолютных концентраций. Структура последних определяет направление присоединения и стереохимию конечных продуктов [2–5].

Стадийность этой реакции и катионный характер интермедиатов известны много лет и были многократно подтверждены экспериментально. Например, при проведении галогенирования в протонных растворителях либо в присутствии других нуклеофилов наряду с дигалогенидами происходит образование смешанных аддуктов. Так, при хлорировании 1-фенилпропена в уксусной кислоте или метаноле образуется около 30% ацетоксихлоридов и 80% метоксихлоридов соответственно [6], причем выход смешанных продуктов присоединения увеличивается с уменьшением реакционной способности непредельного соединения и, в общем случае, с увеличением полярности и нуклеофильности растворителя [7].

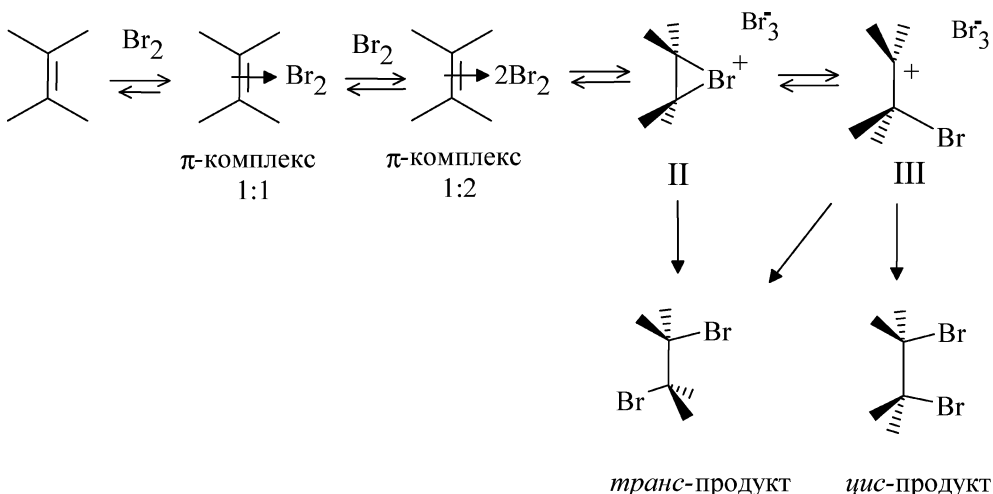
Убедительным свидетельством в пользу полярного электрофильного механизма служит значительное увеличение скорости присоединения к различным алканам (до  $10^{10}$  раз) при переходе от неполярных растворителей к полярным [1–3, 8, 9]. Характер влияния заместителей, определяющих электронную плотность двойной связи, а именно отрицательное значение константы реакции  $\rho$  в соотношениях линейности свободных энергий [10], также свидетельствует о карбокатионном механизме. Дополнительное подтверждение течения реакции через катионный интермедиат (II или III) было получено при изучении зависимости константы реакции  $\rho$  от природы растворителя. С уменьшением способности последнего сольватировать карбокатионы возрастают требования к полярному влиянию заместителя и величина  $\rho$  увеличивается. Так, при переходе от метанола к уксусной кислоте константа реакции бромирования стирола увеличивается с  $\rho_{\text{MeOH}} = -4.4$  до  $\rho_{\text{AcOH}} = -5.6$ , причем изменения механизма не происходит, так как для всех замещенных соблюдается соотношение  $\lg k_{\text{MeOH}} = 0,77 \lg k_{\text{AcOH}} + 2,06$  ( $r = 0,999$ ) [11].

В конце XX в. присоединение галогенов к ненасыщенным системам интенсивно изучалось, а общепринятая модель механизма претерпела изменения. Так, было показано, что в качестве промежуточных соединений в предравновесной стадии наряду с  $\pi$ -комплексами алken-галоген состава 1:1 типа I образуются еще и комплексы состава 1:2 [5, 9]. Проанализируем известные данные о строении этих комплексов.

## 1. Строение $\pi$ -комплексов алken-галоген

Образование в быстрой предравновесной стадии комплекса с переносом заряда алken-Br<sub>2</sub> I было впервые обнаружено спектроскопически в 1967 г. при бромировании циклогексена [12]. В 1985 г. было еще раз подтверждено образование  $\pi$ -комплекса состава 1:1 в качестве интермедиата присоединения брома к циклогексену [13] и адамантилиденадамантану [14] и высказано предположение о возможном существовании другого комплекса алken-бром состава 1 : 2. Там же показано, что последний должен находиться на координате реакции между комплексом 1 : 1 и ионной парой “бромоний–трибромид” как дополнительный интермедиат реакции бромирования [13]. Поскольку образование таких комплексов – экзотермический процесс, некоторые реакции электрофильного присоединения характеризуются кажущимися отрицательными энталпиями

активации [7, 9, 15]. Электрофильное присоединение, протекающее через циклические активированные комплексы, требует определенной ориентации реагентов в скоростьопределяющей стадии. Закономерно, что многие такие реакции характеризуются большими отрицательными значениями  $\Delta S^\ddagger$  [7, 9, 15].



Комплексы алкен-бром состава 1 : 1 являются первыми и обычно короткоживущими интермедиатами электрофильного бромирования. Свойства этих комплексов исследовались для алкенов, в которых дальнейшая реакция (образование бромониевого иона и атака с тыла противоионом) затруднена. Так, реакция таких разветвленных алкенов как тетранеопентилэтилен [16] и (E)-2,2,5,5-тетраметил-3,4-дифенилгекс-3-ен [17] с бромом завершается на стадии образования  $\pi$ -комплекса. По некоторым данным [18], известный трибромид адамантилиденадамантанбромониевого иона, впервые выделенный и охарактеризованный рентгеноструктурно в 1985 году [19], также представляет собой  $\pi$ -комплекс адамантилиденадамантан-бром состава 1 : 2.

Опубликованные спектральные и термодинамические параметры  $\pi$ -комплексов алкен-бром состава 1:1 представлены в табл. 1.1. Эти комплексы часто называют комплексами с переносом заряда. Действительно, природа связи в такой частице состоит во взаимодействии HСМО галогена (акцептора) с ВЗМО алкена (донора). Вследствие этого в УФ спектрах молекулярных ассоциатов наблюдается возникновение полосы переноса заряда в области 240–320 нм [7]. Установлено, что прочность комплексов алкен-галоген снижается с уменьшением поляризуемости акцепторов в ряду  $\text{I}_2 > \text{Br}_2 > \text{Cl}_2$  и при одном и том же акцепторе растет с понижением потенциалов ионизации донорных соединений [7]. В зависимости от природы галогена и алкена и от стехиометрического состава комплексы имеют разные максимумы поглощения (табл. 1).

Так, комплекс тетранеопентилэтилен-бром (1 : 1) имеет максимум при  $\lambda_{\max} = 270$  нм, в то время как для комплекса состава 1 : 2  $\lambda_{\max} = 310$  нм [16]. По сравнению с первым комплексом комплекс 1 : 2 имеет энталпию образования из предыдущего комплекса  $\Delta H_{1:2} = -1,6$  ккал/моль. Малый вклад энтропийного фактора  $\Delta S_{1:2} = -6,1$  кал/(моль·К) по сравнению с  $\Delta S_{1:1} = -11,1$  кал/(моль·К) может быть отнесен к относительно большей степени конформационной свободы второй молекулы брома. Промежуточное положение комплексов состава 1 : 2 на

координате реакции между комплексом 1 : 1 и интермедиатом хорошо согласуется с наблюдаемым вторым порядком по  $[Br_2]$  [13, 16].

Таблица 1  
Спектральные и термодинамические свойства некоторых комплексов алкан-бром (1:1)

Алкан	Раство-	$\lambda_{\max}$ , нм	$\varepsilon_{\max} \cdot 10^{-3}$ , $M^{-1} \cdot cm^{-1}$	Термодинамические параметры		$k_{\text{обр.}}$ , л/МОЛЬ (25°C)	Литература
				$\Delta H$ , ккал/моль	$\Delta S$ , кал/(моль·К)		
$CH_2=CH-(CH_2)_3-CH_3$	—	—	—	-3,3	—	0,145	[7]
$CH_2=CH-CH_2CH(CH_3)_2$	—	—	—	-2,8	—	0,33	[7]
	гексан 1,2-ДХЭ	290 287	15,4 5,52	-4,0 -4,6	-15,7 -17	0,36 0,47	[12] [13]
	то же	—	—	-5,7	-10,3	84	[20]
	“	270	—	-3,5	-11,1	2,2	[16]
	“	280	5,6	-3,25	-10,6	1,2	[17]
	“	272	~18	—	—	289	[14]
	“ AcOH	260 275	5,08 5,63	-4,07	-9,2	9,71 1,72	[21]

Низкотемпературные ИК спектроскопические исследования этих интермедиатов указывают, что молекулярные комплексы этилена и галогенов имеют  $C_{2v}$  симметрию, характерную для трехчленных гетероциклов [22]. Выводы, сделанные при изучении низкотемпературных спектров комплексов алкан-галоген, подтверждены с помощью современных неэмпирических методов расчета с базисом 6-31+G\* [16, 23]. Исследование поверхностей потенциальной энергии (ППЭ) систем этилен-Br<sub>2</sub> и этилен-2Br<sub>2</sub> [16] показало, что для каждой из систем существуют два минимума (рис. 1). Наиболее стабильным комплексом состава 1 : 1 оказался известный “T-тип” IV ( $\Delta H_{\text{обр.}} = -5$  ккал/моль). Найденный второй минимум V является очень неустойчивым комплексом ( $\Delta H_{\text{обр.}} = -1 \div -2$  ккал/моль) по сравнению с IV, т. к. в последнем происходит большее разделение заряда. Авторы [16] показали, что из 10 возможных комплексов состава 1 : 2 только структуры VI и VII являются минимумами на ППЭ. В принципе, обе эти структуры могут быть интермедиатами, т. к. энергетическое различие между ними очень мало: структура VI всего на 0,37 ккал/моль устойчивее VII.

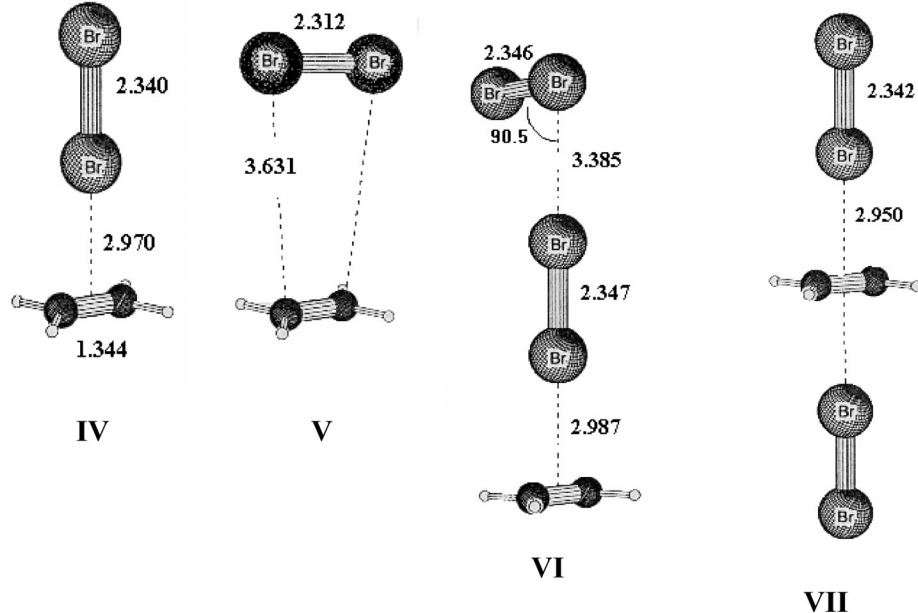


Рис. 1. Структуры  $\pi$ -комплексов этилен-бром состава 1 : 1 (IV, V) и 1 : 2 (VI, VII), оптимизированные методом MP2/6-31+G\* [16]. Длины связей даны в Å, углы — в градусах

В этой же работе сделана попытка расчета  $\pi$ -комплекса тетранеопентиэтилен-брома состава 1:2 полуэмпирическим методом PM3. Стерические затруднения в этом комплексе (рис. 2) снижают энталпию комплексообразования  $\pi$ -системы с первой молекулой брома на 1 ккал/моль и делают структуру типа IV еще более выгодной для комплекса состава 1 : 1 по сравнению с V. Эти же затруднения мешают координации второй молекулы брома с противоположной стороны, что необходимо для образования комплекса 1 : 2 строения VII. Однако, неопентильные заместители вряд ли затрудняют взаимодействие Br-Br в структуре типа VI, так как вторая молекула брома находится на расстоянии ~8 Å от углеродных атомов C=C фрагмента (см. рис. 2). Таким образом, для комплекса тетранеопентиэтилен-бром (1 : 2) структура типа VI становится по меньшей мере на 1.4 ккал/моль устойчивее структуры типа VII [18]. Следующим доказательством строения комплекса тетранеопентиэтилен-бром (1 : 2), отвечающего структуре, приведенной на рис. 2, является низкая энтропия его образования. Это может быть объяснено только с помощью большой степени конформационной свободы второй молекулы брома в структуре VI, в противоположность структурам VII и IV, где бром прямо связан с C=C фрагментом. В работе [23] также отмечается структурное подобие комплекса алken-галоген (1 : 2) и циклического бромониевого интермедиата.

Строение  $\pi$ -комплексов этилен-бром и циклопропен-бром состава 1 : 1 было предметом исследования в работе [24]. Авторам удалось выделить эти комплексы в виде матриц с азотом при низких температурах и зарегистрировать их ИК спектры, параметры которых хорошо коррелировали с рассчитанными. Таким образом, с большой долей вероятности, строение комплекса этилен-бром (1 : 1) как структуры IV можно считать установленным.

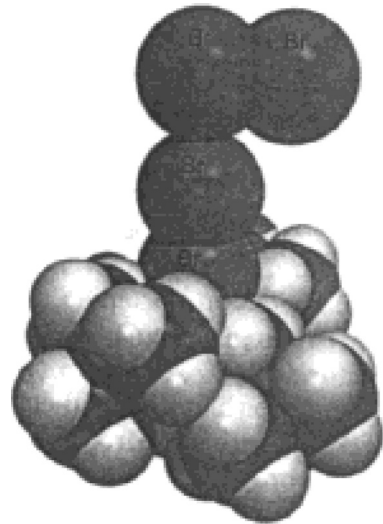


Рис. 2. Структура комплекса тетранеопентилэтилен- $\text{Br}_2$ (1 : 2), оптимизированная методом PM3 [16]

Интересно, что в рассчитанном комплексе циклопропен-бром состава 1 : 1 [24] ось молекулы брома уже не перпендикулярна плоскости молекулы алкена, а отклонена на  $18^\circ$  (рис. 3), что по мнению авторов этих расчетов обусловлено стерическим отталкиванием между молекулой брома и атомом водорода метиленовой группы.

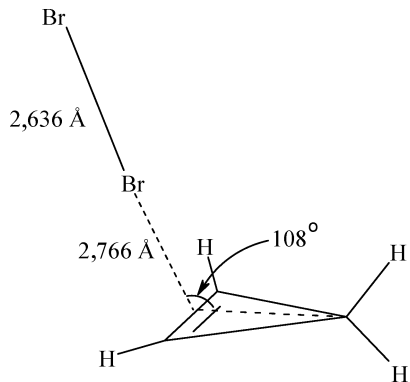
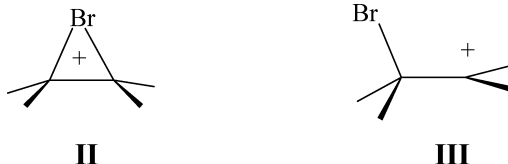


Рис. 3. Строение комплекса циклопропен-бром (1 : 1) (BLYP/6-31G\*) [24]

## 2. Строение катионного интермедиата и стереохимический результат реакции

Строение катионного интермедиата электрофильного галогенирования алканов является одной из существенных деталей механизма реакции. Он участвует и в скоростьопределяющей, и в продуктобразующей стадии. Он же, до известной степени, определяет и стереохимию реакции. Теоретически возможны два

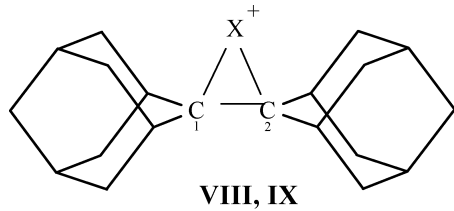
граничных интермедиата электрофильного присоединения: галогенониевый ион **II** и карбениевый ион **III** [1–4].



Представления о циклическом галогенониевом ионе впервые появились в работе [25], в которой Робертс и Кимбелл для объяснения преимущественного образования *транс*-1,2-дигалогенидов при бромировании 2-бутина постулировали образование циклического бромониевого иона на первой стадии присоединения. Впоследствии представления о бромониевом ионе успешно использовались для объяснения *анти*-присоединения молекулярных галогенов к алканам. Так объяснялось не только *анти*-присоединение молекулярного брома к алканам [1–4, 25], но и дегидроксилирование *эрритро*- и *трео*-3-бромбутанолов-2 [26], сохранение конфигурации в реакциях *мезо*- и *d,l*-2,3-дигалогенбутанов с ацетатом серебра [27], а также *эрритро*- и *трео*-3-бромбутанолов-2 с тригалогенидом фосфора [28].

В работе [29] было показано, что для реакции  $RR'C = CR''R''' + Br_2$ , где R, R', R'' – алкильные заместители, в MeOH выполняется соотношение:  $lgk = -5,22 \cdot \Sigma \sigma^* + 0,9 \cdot \Sigma E_s + 7,381$ . Большая отрицательная величина  $\rho$  указывает на значительное распределение зарядов в переходном состоянии, а аддитивность вкладов заместителей – на равномерность распределения положительного заряда в нем между двумя атомами углерода и, следовательно, на высокую вероятность участия симметричных структур типа **II** [29]. Позднее для объяснения *анти*-присоединения хлора к бутену-2 [30] ввели представление о циклическом хлорониевом ионе. Выделение в конце 60-х гг. прошлого века бромониевого **VIII** [31] а затем и хлорониевого **IX** [32] ионов стерически затрудненного алкена – адамантилиденадамантана в  $CCl_4$  при низкой температуре и проведение рентгеноструктурного анализа выделенного адамантилиденадамантанбромоний тригалогенида (**VIII-Br<sub>3</sub>**) [19] явилось прямым доказательством существования циклических галогенониевых ионов. Так, для последнего (**VIII-Br<sub>3</sub>**) в кристаллической решетке обнаруживается почти симметричное строение ( $d_{C1-Br} = 2,116 \text{ \AA}$ ,  $d_{C2-Br} = 2,194 \text{ \AA}$ ) [19].

Таким образом, исключительное *анти*-присоединение брома и хлора к алкенам в общем считается следствием образования мостикового галогенониевого интермедиата **II**. Однако, в последнее время стали накапливаться экспериментальные факты о нестереоспецифичности присоединения молекулярных галогенов к алкенам. Примером нестереоспецифичного галогенирования является бромирование 2-фенилбутена-2 [33], 1-фенилциклогексена [34], индена [35], аценафтилена [9], стильбена [36]. Таким образом, сложился ряд алкенов, галогенирование которых происходит нестереоспецифично, с выделением обоих возможных дигалогеноаддуктов. В первую очередь к этой группе принадлежат арилалкены, способные образовывать устойчивые карбениевые ионы бензиль-



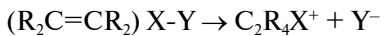
X = Br (**VIII**), X = Cl (**IX**)

ного типа. Действительно, нарушение циклической структуры интермедиата под влиянием заместителей, стабилизирующих карбениевый ион, должно повышать вероятность образования открытого иона, снижая стереоселективность присоединения галогена [1].

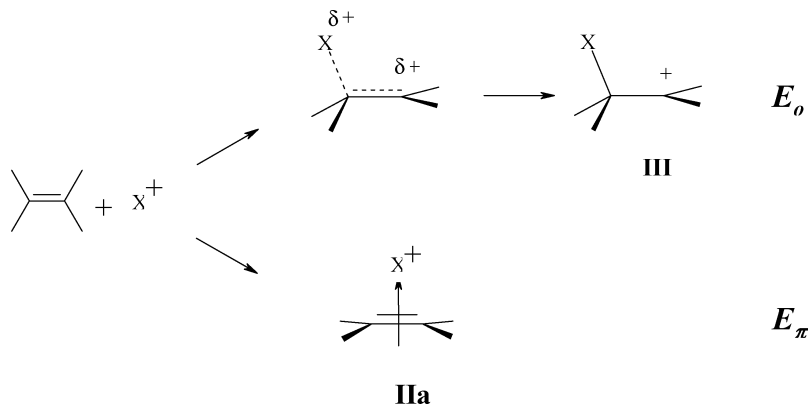
Рассмотрим более подробно факторы, влияющие на механизм и стереохимический результат реакции. Во многом это влияние определяется строением катионного интермедиата, зависящим как от внутренних (природы алкена и галогена), так и от внешних факторов (характер сольватации, степень разделения ионных пар и т.д.). Согласно Дьюару и Догерти [37], относительная устойчивость циклического и открытого ионов **II** и **III** должна существенно зависеть от природы атома галогена.

### 2.1. Влияние природы галогена на стереохимию присоединения к алкенам

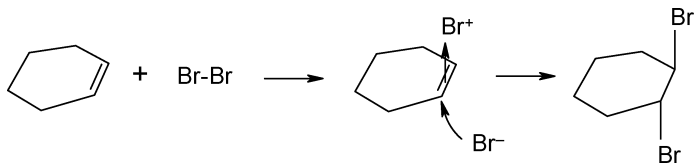
Авторы [37] рассматривают электрофильное присоединение галогенов к алкенам с позиций теории возмущений молекулярных орбиталей (ВМО):



$X^+$  является электрофилом, и атомная орбиталь (АО), используемая им для образования связи  $X-Y$ , пустая. Поэтому при присоединении  $X^+$  к алкену может образоваться или ион карбения **III**, или  $\pi$ -комплекс (галогенониевый ион) **IIa**. В рамках теории ВМО симметричный циклический галогенониевый ион **II** рассматривается как  $\pi$ -комплекс **IIa**, в котором группа  $X^+$  связана с фрагментом  $C=C$  за счет т. н. прямого донирования  $\pi-\pi^*$ .



В первой реакции ( $E_o$ ) переходное состояние не содержит связей, которые бы не присутствовали в реагентах или продуктах. Образование же  $\pi$ -комплекса **IIa** имеет место, когда нет возможности вращения вокруг двойной связи. Реакция с противоионом включает *транс*-атаку по отношению к группе X. Поэтому присоединение по механизму образования  $\pi$ -комплекса ( $E_\pi$ ) должно быть *транс*-стереоспецифично, как, например, к циклогексену [38]:



Присоединение через карбениевый ион **III**, с другой стороны, может привести как к *цис*-, так и к *транс*-продуктам. Рассмотрим, как будет изменяться относительная устойчивость циклического и открытого ионов с изменением X.

Авторы [37] считают, что прочности двух- и трехцентровых связей C-X в открытом и циклическом ионах **III** и **II** при замене X должны изменяться симметрично, так как обе являются связями между X и С. Поскольку  $\sigma$ -связь C-X в открытом катионе прочнее, изменение ее энергии связи должно быть больше, чем изменение энергии трехцентровой связи. Поэтому, чем прочнее C-X связь, тем более благоприятны условия для образования карбениевого иона. Кроме того, при переходе от открытого к циклическому катиону можно ожидать возрастания положительного заряда на фрагменте X [37]. Следовательно, такой переход должен быть затруднен для высокоелектроотрицательных атомов X. В том случае, когда X имеет неспаренные *p*- или *d*-электроны, в  $\pi$ -комплексе возможна обратная координация, которая будет стабилизировать симметричный циклический интермедиат. И, наконец, обратное взаимодействие между занятой АО фрагмента X и разрыхляющей  $\pi$ -МО алкена будет тем больше, чем ближе друг к другу по энергии они расположены.

Эти факторы нельзя оценить количественно, однако, по имеющимся в литературе данным, можно оценить их качественно. Рассмотрим присоединение I<sub>2</sub> к алкену. Йод имеет *p*-электроны, и он слабо электроотрицателен. Связь C-I также очень слаба. Поэтому йодирование проходит неизменно по  $\pi$ -комплексному механизму  $E_{\pi}$ , давая *транс*-аддукты. Действительно, подавляющее большинство известных реакций присоединения йода к алканам происходит *транс*-стереоспецифично [1–4]. Об этом свидетельствуют также квантово-химические расчеты [39], показывающие, что единственным возможным интермедиатом йодирования этилена является этиленйодониевый ион (рис. 4). И, наконец, важной особенностью этой реакции является ее обратимость. Некоторое количество йода остается в равновесии с простым алкеном даже в присутствии избытка алкена [1, 2].

Бром более электроотрицателен, чем йод и C-Br связь прочнее, чем C-I. Тем не менее, электрофильное присоединение протекает обычно по  $E_{\pi}$  механизму с образованием только *транс*-аддуктов. Однако, возможно провести присоединение Br<sub>2</sub> по пути через карбениевый ион  $E_o$ , вводя в алкан заместители, эффективно стабилизирующие карбениевый ион (например, арильные [9, 33–36]).

Хлор еще более электроотрицателен, чем бром, и прочность связи C-Cl еще выше. Все же Cl<sub>2</sub> присоединяется к простейшим алкенам в результате *транс*-атаки по  $E_{\pi}$  механизму, однако, даже такой группы как фенил достаточно, чтобы механизм реакции изменился на  $E_o$ . Так, *транс*-стильбен реагирует с Cl<sub>2</sub> с образованием обоих дихлоридов – *мезо*- и *d,l*- в равных количествах [40].

*Ab initio* расчеты переходных состояний реакции электрофильного присоединения молекулярных хлора и брома [41] к этилену показывают, что оба переход-

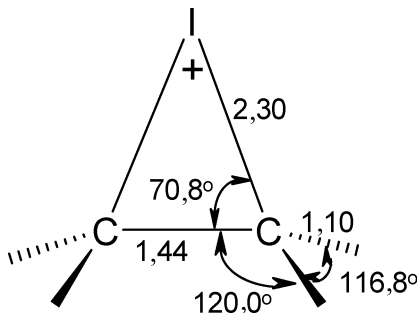


Рис. 4. Геометрия циклического этиленйодониевого иона [39]. Длины связей приведены в Å, валентные углы — в градусах

ных состояния близки по геометрии и представляют собой циклические галогенониевые ионы связанные с галогенид-анионами (рис. 5 *б*, *в*).

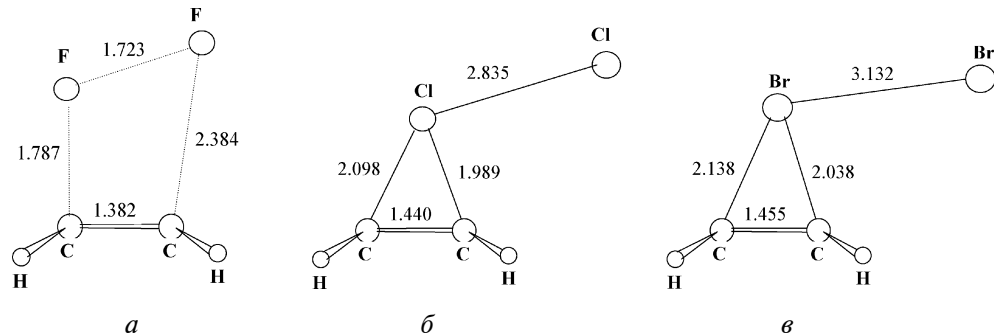


Рис. 5. Геометрии переходных состояний фторирования (*а*), хлорирования (*б*) и бромирования (*в*) этилена, вычисленные неэмпирическим методом с набором базисных функций 3-21G [41]

Сопоставление данных по стереохимии хлорирования и бромирования алkenов показывает, что *син*-стереохимия присоединения значительно вероятнее для реакций с хлором, чем с бромом [1–4]. Так, если к 1-фенилпропену бром присоединяется преимущественно в *анти*-положение (83–88%) [42], то при хлорировании доля *син*-изомера увеличивается до 50% [40]. Это, вероятно, связано с тем, что устойчивость циклического хлорониевого иона по сравнению с бромониевым снижается за счет большого *-I*-эффекта атома хлора. Во-вторых, переход от катиона  $R_2C^+-CBrR_2$  к катиону  $R_2C^+-CClR_2$  делает более вероятным течение реакции через тесную ионную пару. И, наконец, противоион  $Cl^-$  по сравнению с  $Br^-$  обладает большей основностью и, следовательно, большей реакционной способностью (по аналогии с  $S_N1$ -реакциями), что также должно увеличивать вероятность протекания реакции в ионной паре без диссоциации на свободные ионы.

Фтор, несомненно, присоединялся бы скорее по  $E_o$  механизму, чем по  $E_\pi$ . Однако связь F-F настолько слаба, что  $F_2$  часто реагирует по радикальным механизмам, приводящим одновременно и к присоединению, и к замещению. Для снижения вероятности побочных процессов были разработаны методы “мягкого” фторирования, основанные на сильном разбавлении фтора инертными газами. Таким образом, было показано, что присоединение молекулярного фтора к двойной углерод-углеродной связи ряда непредельных соединений, хотя и происходит с низкими выходами за счет протекания различных побочных процессов, обычно протекает как стереоселективный *син*-процесс [43]. Так, фторирование метиловых эфиров *цис*- и *транс*-коричной кислоты дает соответственно только *эритро*- и *трео*-этил-2,3-дифтор-3-фенилпропионаты (с выходом 50–55%). *Ab initio* расчет переходного состояния фторирования алkenов [41] показывает четырехцентровую несимметричную структуру комплекса этилен-фтор (рис. 5, *а*), обусловливающую согласованное *син*-присоединение.

Несмотря на отсутствие свободных орбиталей низкой энергии, которое не благоприятствует механизму  $E_o$ , авторами [44] было показано, что при наличии дополнительной возможности стабилизации  $\alpha$ -фторкарбениевого иона заметна значительная доля течения реакции через открытый катион, который затем быстро взаимодействует с нуклеофилом  $F^-$ . Так, открытый заряженный ин-

термедиат фторирования *цис*-стильбена [ $\text{PhCHF}-^+\text{CHPh}$ ] заметно стабильнее предельных  $\alpha$ -фторалкильных катионов, и, как следствие, при фторировании *цис*-стильбена наблюдается меньшая стереоселективность: наряду с главным продуктом *мезо*-1,2-дифтор-1,2-дифенилэтаном (*син*-присоединение) был выделен его *d,l*-изомер (*анти*-аддукт)[43]. Аналогично, при действии молекулярного фтора на инден и аценафтилен также было замечено образование смеси стереоизомерных дифторидов [44]. По-видимому, открытый  $\alpha$ -фторалкильный катион очень нестабилен [45] и тесная ионная пара рекомбинирует прежде, чем произойдет какое-либо вращение вокруг C-C связи. В эту же пользу свидетельствует и отсутствие этоксифторидов в продуктах фторирования алkenов в этаноле [44]. На основании этих данных было выдвинуто предположение о быстром «схлопывании» ионной пары, включающей  $\alpha$ -фторкарбокатион, который одновременно является интермедиатом при образовании 1,1,2-трифторалканов, также образующихся при фторировании линейных терминальных алкенов [44].

Представления об относительной устойчивости открытых галогенкарбениевых III и циклических галогенониевых II ионов качественно подтверждаются расчетными и экспериментальными данными (табл. 2).

Таблица 2  
Относительные энергии открытого и циклического ионов (III, II) [46]

X	$E_{\text{C-X}}^{\text{p}}$ , ккал/моль	ЭО (X) <sup>2)</sup>	$\Delta H_{\text{обр.}}(\text{II}) - \Delta H_{\text{обр.}}(\text{III})$ (ккал/моль)		
			MNDO [48]	<i>ab initio</i> (базис)	эксперимент [49]
F	116	4,0	18,7	11,4(4-31G)[50]	—
Cl	81	3,0	−5,6	−9,2(4-31G) [48] −14,6(6-31G**)[48]	5,6
Br	68	2,8	—	−30,1(STO-3G) [38]	−1,4
I	51	2,5	—	−37,0(STO-3G)[38]	—

П р и м е ч а н и я: 1 — энергия диссоциации связи C-X [47, с. 407]; 2 — электроотрицательность атома галогена по Полингу [47, с. 24].

Как видно из данных табл. 2, стабилизации циклического галогенониевого иона способствуют галогены, которые являются элементами третьего и более высоких периодов, имеют меньшую электроотрицательность и образуют относительно менее прочные связи с углеродом. Согласно этому, склонность к образованию мостиковых ионов должна возрастать в следующем ряду: F < Cl < Br < I. Этот порядок подтверждается результатами квантово-химических расчетов (см. табл. 2), а также экспериментально [49, 51]. Расхождения же в абсолютных величинах расчетных и экспериментальных данных может объясняться недостатками метода расчета, который не учитывает влияния таких факторов как температура, межмолекулярные взаимодействия, характер сольватации и т.д.

## 2.2. Влияние реакционной среды и концентрации реагирующих веществ на стереохимический результат реакции

Вероятность образования циклических или открытых катионных интермедиатов может зависеть также и от растворителя, влияние которого на стереохимию бромирования отмечалось неоднократно [2–4, 36, 52, 53]. Общий характер этого влияния не поддается однозначной оценке. Проанализируем возможные причины такой неоднозначности.

Наблюдаемый эффект растворителя на стереохимию присоединения брома к стильбенам (увеличение доли *cis*-присоединения с повышением полярности реакционной среды [52, 53]) может быть объяснен как результат различных сольватационных требований к находящимся в равновесии бромониевому и карбениевому ионам [54]. Относительно высокую устойчивость бромониевого иона в неполярных растворителях можно объяснить “внутримолекулярной сольватацией” карбениевого иона соседним атомом брома. Напротив, в полярных растворителях карбениевый ион должен быть более устойчив, что создает возможность вращения вокруг его связи С–С, особенно при повышенной температуре, что может послужить достаточным основанием для снижения стереоселективности бромирования и увеличения доли *cis*-продуктов присоединения.

Однако, снижение стереоселективности при увеличении полярности растворителя может быть объяснено не только упомянутым равновесием. Эти факты также можно объяснить на основании предположения о протекании реакции через открытый интермедиат, в котором скорость внутреннего вращения соизмерима со скоростью нуклеофильной атаки противоионом. Увеличение полярности растворителя способствует разделению ионных пар, что снижает скорость нуклеофильной атаки; внутреннее вращение в карбениевом ионе становится преобладающим, что увеличивает вероятность потери конфигурационной однозначности последнего, приводя к потере стереоспецифичности. С другой стороны, в слабополярных растворителях, где процесс в основном протекает через тесные ионные пары, прямая нуклеофильная атака в тесной ионной паре может преобладать над внутренним вращением, приводя к снижению *транс*-стереоселективности реакции присоединения.

Специфические сольватационные эффекты в некоторых случаях могут играть на менее важную роль, чем диэлектрическая проницаемость среды. Так, например, при хлорировании 1,1-дихлорэтилена в смесях  $\text{CCl}_4$  с  $\text{C}_6\text{H}_5\text{NO}_2$  обнаружено, что константа скорости растет значительно быстрее, чем можно было ожидать из изменения диэлектрической проницаемости среды [55]. Факт объяснен специфической сольватацией хлора нитробензолом, что вызывает поляризацию молекулы хлора, облегчая электрофильную атаку двойной связи. Специфическая сольватация, проявляющаяся в образовании донорно-акцепторной связи галоген-растворитель, может также препятствовать протеканию реакции. Наличие связи с растворителем затрудняет образование комплекса алкен–галоген по обменной реакции. В таких случаях образование комплексов может стать лимитирующей стадией процесса и скорость реакции уменьшится по сравнению со слабокомплексирующими растворителями типа  $\text{CCl}_4$ . Однако, донорные растворители способны эффективно сольватировать не только галогены, но и переходное состояние. Вероятны случаи, когда сольватация переходного состояния будет больше сольватации реагирующих веществ. В таких растворителях скорость реакции может расти. Об относительной силе сольватационных эффектов в процессе реакции можно судить по величине энталпии различных процессов комплексообразования и следует ожидать, что в зависимости от прочности комплекса галоген-растворитель, скорость реакции будет проходить через максимум [7].

Описанное явление было обнаружено при бромировании циклогексена и 1-гексена в растворителях, комплексующих с бромом [56] (рис. 6). Максимальное значение скорости реакции наблюдается в диоксане. Специфическая сольватация может влиять также и на стереохимию продуктов присоединения. Так,

бромирование *цис*-1-фенилпропена в диоксане дает 80% *эритро*-дибромида (*цис*-аддукта), по мнению авторов [53] в результате специфической стабилизации диоксаном катионной частицы с образованием неустойчивого оксониевого иона X. Тот факт, что в результате присоединения и к *транс*-1-фенилпропену образуется продукт с близким соотношением *эритро*/*трео* изомеров (71/29) кажется подтверждением течения реакции в обоих случаях через один и тот же сольватированный бромкарбениевый ион X.

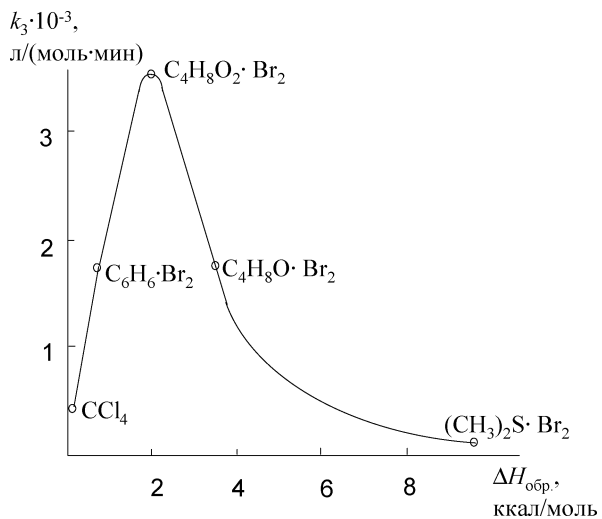
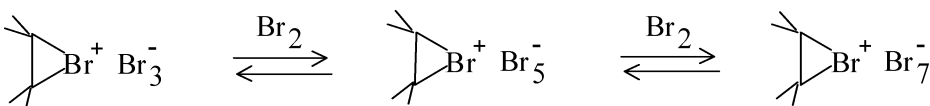
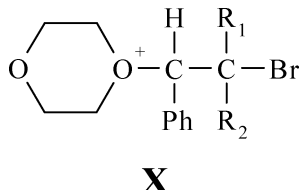


Рис. 6. Зависимость константы скорости реакции бромирования 1-гексена от энталпии образования комплексов брома с растворителями при 20°C [56]

На стереохимию продуктов бромирования также могут оказывать влияние и концентрации реагентов, как абсолютные, так и относительные. Так, при увеличении концентрации галогена возможно образование ионных ассоциатов типа  $\text{Br}_x^{\pm}$ . Так, было обнаружено, что в качестве противоиона к адамантилиденадамантан-бромониевому иону в дихлорэтане и тетрабутиламмониевому иону  $\text{Bu}_4\text{N}^+$  в хлороформе наряду с хорошо известным трибромид-ионом возможно обратимое образование пентабромид-иона [14, 57]. Исследование методом ЯМР системы адамантилиденадамантан- $\text{Br}_2$  в  $d_4$ -1,2-дихлорэтане при различном избытке брома в интервале температур 0–25°C показало, что в растворе существует равновесие, свидетельствующее об обратимом образовании ионных пар бромониевый ион- $\text{Br}_3^+$ ,  $\text{Br}_5^+$  или  $\text{Br}_7^+$  [58]:

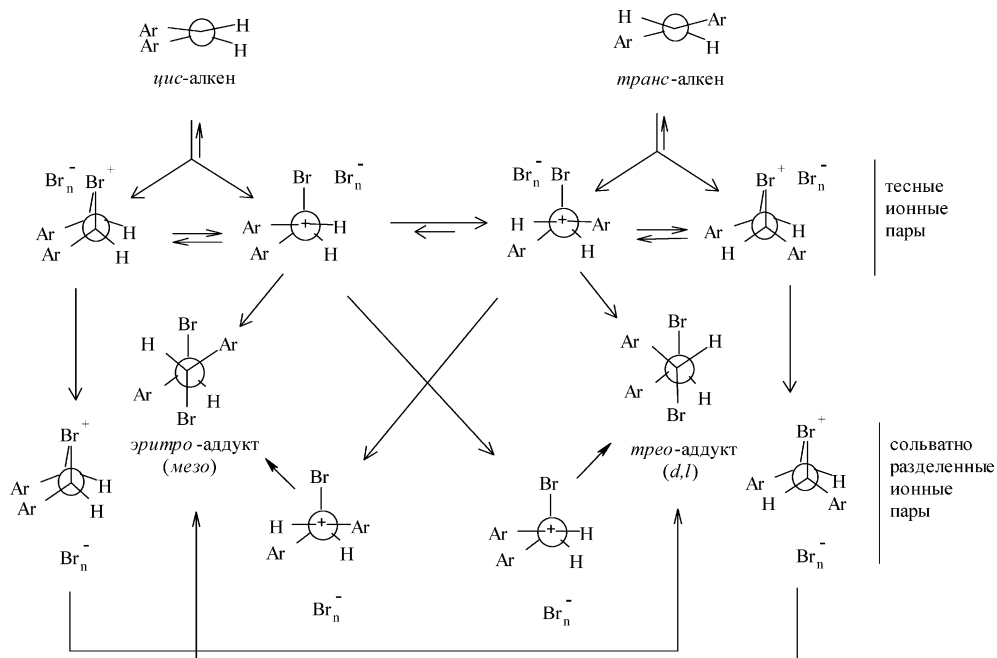


Относительные количества  $\text{Br}_3^+$ ,  $\text{Br}_5^+$  или  $\text{Br}_7^+$  связаны с абсолютной концентрацией брома. Фактором, благоприятствующим стереоизбирательной *транс*-атаке полибромидной формой бромониевого или карбениевого интермедиата, может быть не только экранирование последнего для *син*-атаки, обусловленное



большим объемом полибромидной частицы, но также и ее геометрия. По некоторым данным, частицы  $\text{Br}_5^-$  и  $\text{Br}_7^-$  имеют строение так называемого “L-типа”, что может способствовать *транс*-атаке нуклеофилом без переориентации противоиона в тесной ионной паре [9].

Однако, не только концентрация галогена, но также и соотношение реагирующих веществ, влияет на стереохимию реакции: механизм перехода интермедиатов в продукты зависит от их концентрации. Так, было установлено, что бромирование *цикло*- и *транс*-стильбенов в 1,2-дихлорэтане при эквимолярном соотношении реагентов и концентрациях выше  $10^{-3}$  М протекает нестереоспецифично, однако при дальнейшем снижении концентрации, особенно если концентрация алкена в 100 раз меньше концентрации брома, реакция становится стереоспецифичной, и из обоих алкенов образуется один и тот же продукт — *мезо*-1,2-дигидро-1,2-дифенилэтан [59]. При избытке же алкена относительный вклад *d,l*-продукта, особенно при бромировании *цикло*-стильбена, увеличивается. Эти факты были объяснены авторами на основании схемы механизма с участием тесных и сольватно-разделенных ионных пар:



В малополярных растворителях ионные интермедиаты, несомненно образующиеся в скорость определяющей стадии, представляют собой тесные ионные пары. В то время как *цикло*- и *транс*-бромониевые ионы дают только *d,l*- и *мезо*-дигидробромиды соответственно, интермедиат карбениевого типа может приводить к обоим продуктам даже в тесной ионной паре, если его конформационное вращение происходит относительно быстро по сравнению со скоростью превращения в продукты. С другой стороны, диссоциация - ассоциация ионных пар является равновесным процессом и, при значительном разбавлении, концентрация образующихся ионных пар может стать настолько низкой, что даже если константа их диссоциации мала (в малополярных растворителях), они все же могут диссоци-

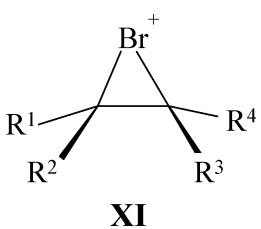
ировать практически нацело, превращаясь в сольватно-разделенные ионные пары. В этих условиях пространственные различия между открытыми интермедиатами будут потеряны и выход более стабильного *мезо*-дибромида должен увеличиваться в соответствии с предпочтительной *анти*-атакой противоионом термодинамически более стабильного конформера. Примечательно, что наблюдаемое увеличение доли *транс*-присоединения с уменьшением концентрации брома в малополярных растворителях характерно не только для стильбенов, но и для 2,4-гексадиена [60] и аценафтилена [9]. Следовательно, увеличение доли термодинамически более стабильного продукта со снижением концентрации реагирующих веществ оказывается общим эффектом, который может быть объяснен на основании предложенного механизма [59].

И, наконец, на стереохимию реакции галогенирования могут оказывать влияние активные сольватирующие добавки, например, циклодекстрины [61]. Так, присоединение брома к *транс*-стильбену в полости циклодекстринов вместо селективного образования *мезо*-аддукта (*анти*-присоединение) приводит к значительному (до 64%) вкладу *d,l*-изомера (*син*-присоединение). Это обращение стереоселективности авторы связывают с полярным окружением вторичных гидроксильных групп циклодекстрина, действие которого стабилизирует ациклический  $\alpha$ -галогенкарбениевый ион и одновременно препятствует приближению трибромид-аниона [61].

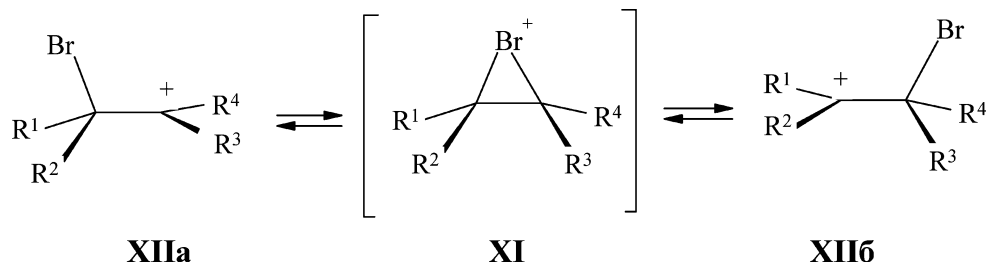
Таким образом, судя по влиянию растворителей на стереохимию галогенирования арилалканов, можно сделать вывод о правомерности применения концепции ион-парного механизма. Однако специфические сольватационные взаимодействия могут накладывать свои особенности и предугадать направление присоединения галогена к алкену, растворенному в том или ином растворителе, иногда достаточно трудно. По всей видимости, природа этих специфических взаимодействий состоит в электростатическом взаимодействии промежуточно образующегося катионного интермедиата с донорными (нуклеофильными) атомами растворителя в скорость определяющей стадии. Такое нуклеофильное содействие растворителя может снижать энергию переходного состояния и тем самым ускорять реакцию. Это подтверждает тот факт, что все описанные специфические сольватационные эффекты оказывают вещества, содержащие в своем составе нуклеофильные атомы кислорода (диоксан, циклодекстрины) [7, 9, 61].

### 2.3. Взаимосвязь между строением субстрата и стереохимией присоединения галогена

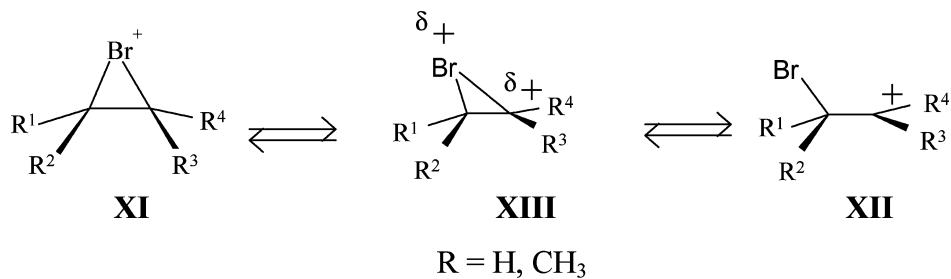
Исследования Ола с сотр. [51] показали, что в слабонуклеофильных суперкислых средах ( $\text{SbF}_5\text{-SO}_2\text{F}$ ) при низких температурах ( $-78^\circ\text{C}$ ) возможно существование долгоживущих галогенониевых ионов и на основе алканов типа XI. В спектрах ЯМР  $^{13}\text{C}$  *цис*- (XI,  $\text{R}^1=\text{R}^4=\text{H}$ ,  $\text{R}^2=\text{R}^3=\text{CH}_3$ ) и *транс*-2,3-диметилэтиленбромониевых ионов (XI,  $\text{R}^1=\text{R}^3=\text{H}$ ,  $\text{R}^2=\text{R}^4=\text{CH}_3$ ), образующихся при действии  $\text{SbF}_5$  соответственно на *мезо*- или *d,l*-2,3-дибромбутины в  $\text{SO}_2$  всего две группы сигналов, что свидетельствует о симметричном строении и позволяет отнести их к циклическим ониевым ионам. Другой причиной симметричного распределения электронной плотности может быть быстрое взаимопревращение обоих форм открытого карбениевого иона согласно нижеследующей схеме, в которой ион XI играет роль интермедиата



[46]. Анализ же спектров ЯМР  $^{13}\text{C}$  тетраметилэтиленбромониевого иона привел Ола с сотр. к заключению о несоответствии их циклическому оньевому иону, а быстрому взаимопревращению открытых катионов **XIIa** и **XIIb** непосредственно друг в друга [51]:



Наблюдаемые большие различия в химсдвигах атомов C<sup>1</sup> и C<sup>2</sup> для 1-метил- и 1,1-диметилэтиленбромониевых ионов трудно было объяснить наличием симметричного бромониевого иона типа **XI**. По мнению авторов работы [46], это указывает либо на образование несимметричных бромониевых ионов **XIII**, либо на быстрое взаимопревращение ионов **XI** и соответствующих карбокатионов **XII**:

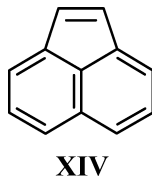


Наиболее интересные результаты по стереохимии бромирования показывают арилалкены. Здесь возможны широкие рамки изменения стереоселективности: от полностью *транс*-стереоспецифичного до полностью *цис*-стереоспецифичного присоединения. Чаще же всего встречается нестереоспецифичное присоединение, причем не только хлора, но и брома. Полную потерю стереоспецифичности при бромировании *транс*- и *цис*-стильбенов в 1,2-дихлорэтане при относительно высоких концентрациях реагентов и одновременно повышение стереоселективности почти до 100% при снижении концентрации [59] может вызвать только открытый карбениевый интермедиат. В пользу открытого интермедиата свидетельствует также и потенциометрическое исследование скорости бромирования метилзамещенных стиролов [62], которое показывает, что активированный комплекс имеет очень несимметричное распределение зарядов с максимальной плотностью положительного заряда, локализованной на углеродном атоме. Это исследование также показывает, что 2-фенилпропен более реакционноспособен, чем *цис*- и *транс*-1-фенилпропены и тот факт, что  $\alpha$ -метильные группы значительно ускоряют реакцию, в то время как введение  $\beta$ -метильной группы имеет незначительный либо нулевой ускоряющий эффект, считается доказательством несимметричного распределения заряда в переходном состоянии присоединения брома к стиролу [62].

При рассмотрении влияния строения субстрата на скорость и стереохимию бромирования арилалканов важные выводы можно сделать из анализа электронного влияния заместителей в ароматическом ядре. Так, при бромировании стильбенов и стиролов в метаноле на графике  $\rho$ - $\sigma$  заметно отклонение от линейной зависимости для донорных заместителей [11,63,64], что теоретически свидетельствует об изменении механизма, которое авторы отнесли к изменению структуры интермедиата. Действительно, в случае протекания реакции присоединения через циклический бромониевый интермедиат можно ожидать гамметовскую зависимость такого же характера, как и для открытого катиона, но для последнего, где положительный заряд локализован на углеродном атоме, следует ожидать более отрицательного значения константы  $\rho$ . Донорные заместители в большей степени стабилизируют открытый карбениевый ион и, действительно, в этом случае наблюдается лучшая корреляция  $\lg k$  с  $\sigma^+$ -константами заместителей, а абсолютная величина  $\rho$  увеличивается. Для акцепторных заместителей, препятствующих активной делокализации положительного заряда ароматическим ядром, наиболее вероятно течение реакции через циклический бромониевый ион, участие заместителя в делокализации в этом случае оказывается меньше и значение  $\rho$  снижается. Так, в метаноле, хорошо сольватирующем катионные интермедиаты, для бромирования стирола, содержащего донорные заместители,  $\rho = -4,4$ , а при наличии акцепторных заместителей  $\rho = -2,8$  [11]. Изменения в мостикообразовании с введением заместителей приводят к значительным искривлениям  $\rho$ - $\sigma$  зависимости также и для бромирования *транс*-стильбенов в метаноле [65]: абсолютные величины  $\rho$  снижаются по мере того, как снижаются донорные свойства заместителей (от величины  $-4,3$ , характерной для бензильных катионов, до приблизительно  $-1$ , когда интермедиаты представляют собой циклические мостикиевые структуры, а положительный заряд сосредоточен на мостиковом атоме брома). Подобные искривления замечены при проведении бромирования *транс*-стильбена и в других протонных растворителях (этаноле, трифторметаноле, уксусной кислоте), что свидетельствует об определяющем влиянии электронной природы заместителя на степень мостикообразования [65].

Таким образом, арилалкены являются удобными модельными соединениями для изучения стереохимии и механизма реакций алканов, т. к. позволяют введением заместителей различной электронной природы контролировать реакционную способность двойной связи и вместе с этим кинетику и стереохимию процесса. Однако, возможность внутреннего вращения в вероятно образующемся открытом катионном интермедиате бромирования арилалканов затрудняет анализ стереохимических данных. Так, *син*-присоединение к стильбену может быть результатом как прямой *син*-атаки карбокатиона нуклеофилом в тесной ионной паре, так и следствием конформационных изменений с последующей *анти*-атакой. В связи с этим, все большее значение для изучения стереохимии присоединения галогенов приобретают циклические арилалкены и одной из наиболее удобных моделей среди них является аценафтилен XIV. Проанализируем известные данные о присоединении молекулярных галогенов к аценафтилену и его замещенным.

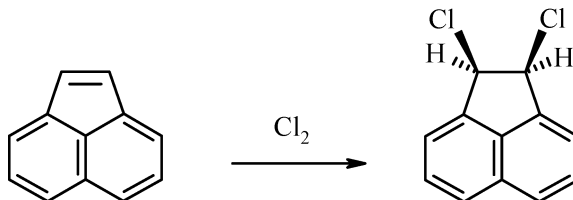
В 1874 г. Блюменталь впервые присоединил бром к аценафтилену в среде диэтилового эфира и выделил продукт с температурой плавления 121–123°C [66]. Аналогичный результат получил Кристол с сотр. в 1956 г. [67] при бромировании аценафтилена в петролейном эфире; выход 1,2-дибромаценафтина с т. пл. 124°C



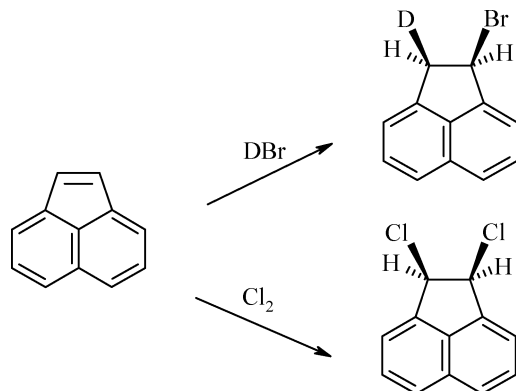
составил 50%, конфигурация этого дибромида была определена как *транс*- . Этот результат согласовался с распространенными в то время взглядами на стереохимию присоединения брома к алканам. В то же время, молекулярный хлор при действии на аценафтилен в четыреххлористом углероде [68] или в бензole [67] дает *цис*-1,2-дихлораценафтен (т. пл. 116°C) с 27%-ным выходом. А при действии фенилиодоний дихлорида на аценафтилен в хлороформе выделен низкоплавкий *транс*-1,2-дихлорид (т. пл. 67–68°C) с 28%-ным выходом [69]. Позднее было установлено нестереоспецифичное течение хлорирования аценафтилена в ионных условиях (соотношение *транс*/*цис*-дихлоридов составило 75/25 в присутствии трифтруксусной кислоты и 90/10 в присутствии гидрохинона) [70].

На основании приведенных выше данных трудно сделать определенное заключение о механизме галогенирования этого алкена. Однако, несмотря на это, результаты приведенных выше оригинальных работ как весьма интересные примеры зависимости стереохимии присоединения от природы галогена попали в учебную и монографическую литературу [2, 71–73] и послужили основой для формирования представлений о механизме присоединения молекулярных галогенов к аценафтилену и алканам в целом.

Так, в книге Ж. Матье и Р. Панико “Курс теоретических основ органической химии” сказано: “Со стереохимической точки зрения присоединение галогенов происходит как *транс*- (или *анти*-) присоединение через промежуточный π-комплекс. Тем не менее, в некоторых случаях, в частности для аценафтилена, присоединение может иметь *цис*- (или *син*-) характер” [71, с. 324].



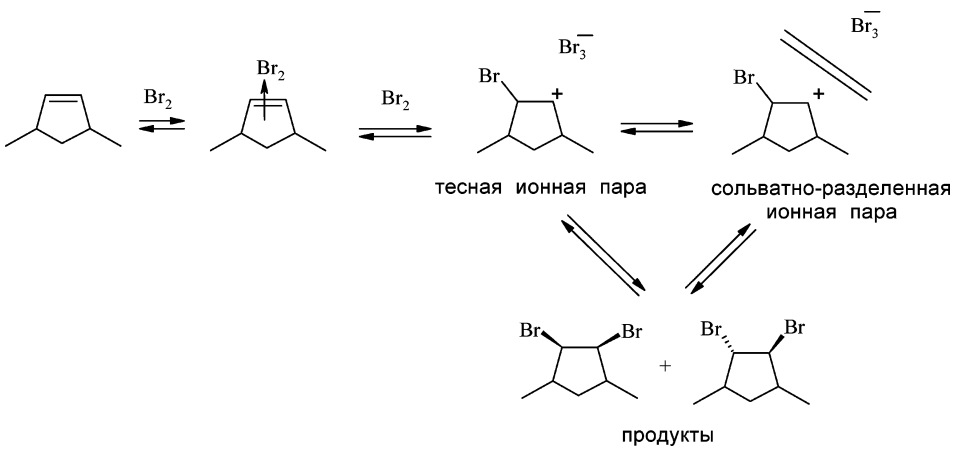
А. Терней (“Современная органическая химия”) отмечает, что “...за последнее десятилетие открыты некоторые реакции присоединения, протекающие исключительно с образованием *цис*-соединений. Хотя число таких реакций невелико, не более 1% всех известных реакций присоединения, можно привести примеры *цис*-присоединения HX и X<sub>2</sub> к алканам” [72, с. 321]:



На работу [67] также ссылается автор монографии [73]: “В 1956 г. Кристол, Стермитц, Рейми неожиданно отметили образование *цис*-, а не *транс*-аддукта при хлорировании аценафтилена в полярных растворителях” [73, с.116]; хотя судя по выходу выделенного продукта вывод об образовании только *цис*-1,2-дихлорида делать нельзя. Действительно, позднее было доказано, что в реакции хлорирования в зависимости от растворителя наряду с *цис*-изомером (45–75%) образуется еще и *транс*-1,2-дихлорид (25–55%), т. е. реакция протекает нестереоспецифично [74].

Нетрудно видеть, что в монографиях и учебниках [68–70] экспериментальные результаты по присоединению хлора и брома к аценафтилену используются не вполне корректно, а имеющиеся в них сведения устарели.

После того, как в 1986 г. стало известно, что присоединение брома к аценафтилену протекает также нестереоспецифично [75], стереохимию бромирования аценафтилена стали изучать с целью выяснения причин такого поведения и стереохимических закономерностей реакции [9, 74, 76]. Было установлено [74], что во всех ранее использованных авторами [66–70] растворителях реакция бромирования аценафтилена протекает нестереоспецифично: наряду с *транс*-1,2-дигидро-1,2-дибромидом (50–92%) образуется еще и *цикло*-изомер (8–50%), причем вклад *син*-бромирования уменьшается с ростом полярности растворителя (от 50% в гексане до 8% в ТГФ). В работе итальянских ученых [9] исследовалась зависимость стереохимии присоединения брома к аценафтилену от концентрации реагирующих веществ в дихлорэтане (ДХЭ) и хлороформе, определены кинетические и термодинамические параметры этого процесса. Так, было показано, что реакция бромирования аценафтилена в хлоруглеводородах подчиняется кинетическому уравнению суммарного третьего порядка: первого по алкену и второго по галогену, причем константа скорости реакции в смесях дихлорэтан–хлороформ постепенно изменяется от  $9,5 \cdot 10^3$  (100% хлороформ) до  $2,2 \cdot 10^5$  (100% ДХЭ), подтверждая тем самым высокую полярность переходного состояния реакции. Установленные термодинамические параметры реакции присоединения брома к аценафтилену согласуются с предложенным механизмом: энергия активации  $E_a = -3,73$  ккал/моль и энталпия активации  $\Delta H^\ddagger = -4,30$  ккал/моль свидетельствуют об экзотермической предравновесной стадии образования молекулярного ассоциата аценафтилен–бром, а большая отрицательная величина энтропийного фактора  $\Delta S^\ddagger = -49$  кал/(моль·К) – о тримолекулярном переходном состоянии [9].



Относительно влияния концентрации реагирующих веществ на стереохимию продуктов наблюдается, что при эквимолярном соотношении аценафтилен:бром разбавление реагентов в 10 раз заметно не оказывается на относительном содержании диастереомерных продуктов (*цис/транс* = 30/70), тогда как 2,5-кратный избыток аценафтилена резко увеличивает вклад *син*-присоединения (*цис/транс* = 70/30). По мнению авторов [9], это объясняется ион-парным механизмом присоединения брома (см. выше), когда тесная ионная пара “бромаценафтильный катион—трибромиданион” при высокой концентрации аценафтилена менее подвержена диссоциации, что способствует увеличению доли *син*-присоединения.

Изученное влияние растворителей на стереохимию присоединения брома к аценафтитлену и 5-бромаценафтитлену [76] показало, что *транс*-стереоселективность присоединения снижается с уменьшением полярности реакционной среды. Особенно это прослеживается в ряду однотипных растворителей, где доля *анти*-присоединения снижается в ряду ТГФ>диэтиловый эфир>диоксан (89>77>44) [76].

Относительно галогенирования замещенных аценафтитлена известно, что присоединение брома к 5-бром- и 3-галогензамещенным аценафтитленам также протекает нестереоспецифично [77, 78]. В работе [76] показано, что с увеличением электроакцепторных свойств заместителя доля *транс*-присоединения брома возрастает, в то же время даже наличие таких сильных электроакцепторных заместителей, как нитро-группа, не приводит к *транс*-стереоспецифичному бромированию. Действительно, дестабилизация открытого карбкатионного интермедиата нитрогруппой должна бы приводить к большей стабильности циклического бромониевого интермедиата, и, как следствие, увеличению доли *транс*-присоединения. С другой стороны, снижение устойчивости открытого катионного интермедиата при введении акцепторных заместителей (уменьшающее время его жизни) делает более вероятным течение реакции через тесную ионную пару, которая может приводить как к *син*-, так и к *анти*-присоединению.

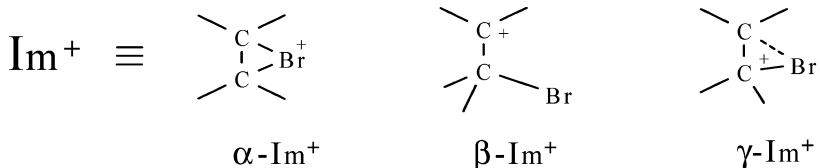
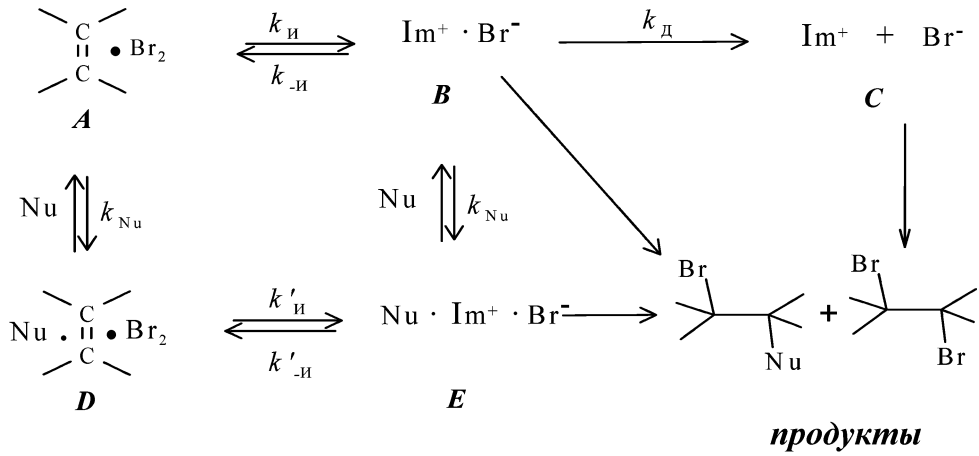
\* \* \*

В последнее время предпринимаются попытки систематизации известных экспериментальных данных по бромированию различных алканов. Так, предлагаются уже не частные механизмы отдельных реакций присоединения в определенных условиях, а единые схемы механизмов электрофильного галогенирования, включающие различные варианты пути реакции, подобно спектру механизмов нуклеофильного замещения и элиминирования (схема Джэнкса-О'Феррала).

В одной из последних работ авторов, работающих над этим разделом химии на протяжении последних 40 лет [65] на основании систематического изучения кинетики, хемо- и стереоселективности реакции бромирования замещенных стильтенов была предложена схема возможных механизмов, включающая свободно-ионный, ион-парный и предассоциативный пути и обобщающая полученные до сих пор экспериментальные данные об электрофильном присоединении к стильтенам в протонных растворителях.

Из схемы видно, что в противоположность широко принятому постулату, образование бромониевого иона не является единственным фактором, определяющим *транс*-стереоспецифичность присоединения. Стереохимический вы-

ход контролируется не только мостиковой или открытой структурой катионного интермедиата, но также и его ассоциацией с нуклеофильным партнером и его временем жизни.



Так, для реакции в нуклеофильных растворителях (например, спиртах) характерен *предассоциативный* путь [ $A \rightarrow D \rightarrow E \rightarrow \text{продукты}$ ], когда метанол связывается с  $\pi$ -комплексом раньше, чем произойдет вращение либо диссоциация на свободные ионы ( $k_{\text{Nu}} > k_d$ ) (см. схему). Таким образом, проявляется нуклеофильное содействие растворителя реакции присоединения и объясняется образование метоксибромида в качестве основного продукта. Так как спирт координируется со стороны, противоположной брому, то структура интермедиата в данном случае не имеет значения — первопричиной *транс*-стереоспецифичности будет уже не циклический интермедиат, а предассоциация. Действительно, если степень мостикообразования в бромониевом интермедиате — результат конкуренции между бромом, заместителями и растворителем в стабилизации катионного заряда, то чем выше нуклеофильность растворителя, тем больше сольватационная стабилизация интермедиата, и меньше электронные требования к атому брома и, следовательно, меньше степень мостикообразования. Поэтому, хоть реакция и проходит через открытый карбениевый интермедиат, она полностью стереоселективна в метаноле и может быть нестереоселективна в других растворителях. Таким образом объясняется наблюдаемая ранее *транс*-стереоспецифичность бромирования *цис*- и *транс*-стильбенов и 1-фенилпропенов в метаноле [11], которая является следствием *предассоциации*  $\pi$ -комплекса с нуклеофилом еще до продуктобразующей стадии.

*Свободно-ионный* путь [ $A \rightarrow B \rightarrow C \rightarrow \text{продукты}$  (см. схему)] характерен в основном для галогенирования в малонуклеофильных и сильно поляризующих растворите-

рителях (например, трифтороэтанол), независимо от заместителя. Свободный катион независимо от своей структуры ассоциируется с растворителем уже с меньшей скоростью, сравнимой со скоростью атаки бромид-ионом ( $k_{\text{Nu}} \approx k_{\text{Br}}$ ), поэтому наблюдается конкуренция между двумя нуклеофилами, о чем свидетельствует конкурентное образование двух продуктов — дигромида и трифторэтоксибромида (1 : 1). Стереохимию этих продуктов будет определять уже строение интермедиата. Для циклического бромониевого интермедиата ( $\alpha\text{-Im}^+$ ) будет наблюдаться *транс*-стереоспецифичное присоединение, а открытый интермедиат ( $\beta\text{-Im}^+$ ) или несимметричный бромониевый ион ( $\gamma\text{-Im}^+$ ) будет причиной полной или частичной потери стереоспецифичности.

В слабонуклеофильном и относительно малополярном протонном растворителе (уксусной кислоте) наиболее предпочтителен *ион-парный* механизм [ $A \rightarrow B \rightarrow E \rightarrow \text{продукты}$ ]. Продуктобразующая стадия  $E \rightarrow \text{продукты}$  — общая с предассоциативным механизмом, т.е. присоединение в уксусной кислоте предполагает ассоциацию растворителя с ионной парой  $B$  до образования продуктов. Причем для стильтенов с сильными электроноакцепторными заместителями ( $\text{CF}_3$ ) продуктобразующая стадия является скоростью определяющей (что следует из отклонения от прямой зависимости  $\lg k_{\text{AcOH}} = f(\lg k_{\text{MeOH}})$  для моно- и дипаратрифторметилзамещенных стильтенов), а судя по стереоселективности (в основном *анти*-присоединение в случае смешанных аддуктов и аномально высокое содержание *цикло*-дибромидов), наиболее приемлемым объяснением будет процесс, когда продукт образуется в результате распада структуры  $E$ , в которой *анти*-присоединению брома препятствует растворитель. Наконец, положительное отклонение от прямой  $mY$  зависимости в этаноле для бромирования наименее активных стильтенов в уксусной кислоте может быть объяснено полностью согласованным присоединением брома, по аналогии с  $S_N2$  механизмом нуклеофильного замещения, хотя прямых доказательств этому нет.

Анализ стереоселективности известных фактов галогенирования алканов, проведенный в работе [79] приводит авторов к мысли о том, что представления относительно интермедиата — трехчленного галогенониевого состояния — не соответствуют действительности. Исходя из предположения, что принятый в органической химии подход [25] до сих пор имеет место лишь потому, что отсутствует более обоснованная версия о движущей силе стереоселективности такой реакции, авторы [79] считают, что предшественниками продуктов галогенирования являются ионные пары, возникающие при постадийном гетеролизе связи  $C=C$ , соответственно протекающем через образование открытого катионного интермедиата.

Из всего вышесказанного можно сделать вывод о том, что механизм галогенирования алканов является очень давно и широко изучаемой и в то же время развивающейся моделью, приобретающей все новые и новые черты. В этом развитии классические методы изучения механизма все больше вытесняются современными физико-химическими методами а также квантово-химическими расчетами. В последнее время доступностью компьютерного моделирования пользуются все чаще [80] и критерий соответствия экспериментально наблюдаемых фактов результатам расчетов считается достаточно весомым аргументом в пользу предлагаемой модели. К тому же, современный уровень развития технологии позволяет проводить расчеты сложных и напряженных молекулярных систем, которые трудно или пока невозможно изучать экспериментально.

## Литература

1. *Smith M. B., March J.* March's Advanced Organic Chemistry. Reactions, Mechanisms and Structure. – John Wiley & Sons, Inc., Hoboken, New Jersey. – 2007. – 2357 p.
2. *Де Ла Мар П., Болтон Р.* Электрофильное присоединение к ненасыщенным системам. – М.: Мир, 1968. – 318 с.
3. *Выонов К. А., Гинак А. И.* Механизм электрофильного присоединения галогенов к кратной связи // Успехи химии. – 1981. – Т. 50, вып. 2. – С. 273–295.
4. *Ruasse M.-F.* Bromonium Ions or  $\beta$ -Bromocarbocations in Olefin Bromination. A Kinetic Approach to Product Selectivities // Acc. Chem. Res. – 1990. – Vol. 23, № 3. – P. 87–93.
5. *Brown R. S.* Investigation of the Early Steps in Electrophilic Bromination through the Study of the Reaction with Sterically Encumbered Olefins // Acc. Chem. Res. – 1997. – Vol. 30, № 3. – P. 131–137.
6. *Fahey R. S., Schubert C.* Polar Additions to Olefins. I. The Chlorination of 2-Butene and 1-Phenylpropene // J. Am. Chem. Soc. – 1965. – Vol. 87, № 22. – P. 5172–5179.
7. *Сергеев Г. Б., Сергачев Ю. А., Смирнов В. В.* Молекулярные комплексы в жидкофазном галогенировании непредельных соединений // Успехи химии. – 1973. – Т. 42, вып. 9. – С. 1545–1573.
8. *Ruasse M. F., Montallesi S.* Experimental and theoretical evaluation of the catalytic role of the solvent in electrophilic bromination of ethylenic compounds // Bull. Soc. Chim. France. – 1988. – № 2. – P. 349–355.
9. *Concentration Dependence of the Steric Course of Bromine Addition to Acenaphthylene. A Product and Kinetic Study / G. Bellucci, C. Chiappe, R. Bianchini, P. Lemmen, D. Lenoir // Tetrahedron.* – 1997. – Vol. 53, № 2. – P. 785–790.
10. *Dubois J. E., Ruasse M. F., Argile A.* Intermediaires aryl carbonium en bromation. Nivellement de la contribution d'un cycle aromatique par les substituants donneurs de l'ion carbonium Ar-C<sup>+</sup>(R')-R'' // Tetrahedron. – 1975. – Vol. 31, № 23. – P. 2921–2926.
11. *Ruasse M. F., Agrile A., Dubois J. E.* Reactivity of Ethylenic Compounds. 42. The Multipathway Mechanism in Styrene Bromination: Competition between Bromonium and Carbonium Ion Intermediates // J. Am. Chem. Soc. – 1978. – Vol. 100, № 24. – P. 7645–7652.
12. *Сергеев Г. Б., Чен Тон-Ха* Комpleксы с переносом заряда между циклогексеном и галогенами // Теор. и эксп. химия. – 1967. – Т. 3, № 3. – С. 422–424.
13. *Bellucci G., Bianchini R., Ambrosetti R.* Direct Evidence for Bromine-Olefin Charge-Transfer Complexes as Essential Intermediates of the Fast Ionic Addition of Bromine to Cyclohexene // J. Am. Chem. Soc. – 1985. – Vol. 107, № 8. – P. 2464–2471.
14. *The Solution Behavior of the Adamantylideneadamantane-Bromine System: Existence of Equilibrium Mixtures of Bromonium-Polybromide Salts and a Strong 1:1 Molecular Charge-Transfer Complex / G. Bellucci, R. Bianchini, C. Chiappe, F. Marioni, R. Ambrosetti, R. S. Brown, H. Slebocka-Tilk // J. Am. Chem. Soc.* – 1989. – Vol. 111, № 7. – P. 2640–2647.
15. *Леенсон И. А., Сергеев Г. Б.* Отрицательный температурный эффект в химических реакциях // Успехи химии. – 1984. – Т. 53, № 5. – С. 721–752.
16. *Spectroscopic Detection and Theoretical Studies of a 2:1 Bromine-Olefin  $\pi$  Complex / R. Bianchini, C. Chiappe, D. Lenoir, P. Lemmen, R. Herges, J. Grunenberg // Angew. Chem. Int. Ed. Engl.* – 1997. – Vol. 36, № 12. – P. 1284–1287.
17. *Nature of the Interaction of Olefin-Bromine Complexes. Inference from (E)-2,2,5,5-Tetramethyl-3,4-diphenylhex-3-ene, the First Example of an Olefin Whose Reaction with Bromine Stops at the Stage of  $\pi$  Complex Formation / G. Bellucci, C. Chiappe, R. Bianchini, D. Lenoir, R. Herges // J. Am. Chem. Soc.* – 1995. – Vol. 117, № 48. – P. 12001–12002.
18. *Spectroscopic and Theoretical Investigations of Electrophilic Bromination Reactions of Alkynes: The First Evidence for  $\pi$  Complexes as Reaction Intermediates / R. Bianchini, C. Chiappe, G. Lo Moro, D. Lenoir, P. Lemmen, N. Goldberg // Chem. Eur. J.* – 1999. – Vol. 5, № 5. – P. 2189–2199.
19. *Slebocka-Tilk H., Ball R. G., Brown R. S.* The Question of Reversible Formation of Bromonium Ions during the Course of Electrophilic Bromination of Olefins. 2. The Crystal and Molecular Structure of Bromonium Ion of Adamantylideneadamantane // J. Am. Chem. Soc. – 1985. – Vol. 107, № 15. – P. 4504–4508.
20. *Reaction of Crowded Olefins with Bromine. A Comparison of the Strained (E)-2,2,3,4,5,5-Hexamethylhex-3-ene with the Sterically Hindered Tetraisobutylethylene / G. Bellucci, R. Bianchini, C. Chiappe, D. Lenoir, A. Attar // J. Am. Chem. Soc.* – 1995. – Vol. 117, № 23. – P. 6243–6248.
21. *Investigation of the Early Stages of Electrophilic Addition of Br<sub>2</sub> to Olefins. Kinetic Evidence for a Reversibly Formed Bromonium Ion in the Reaction of Br<sub>2</sub> with Tetraisobutylethylene / R. S. Brown, H. Slebocka-Tilk,*

- A. J. Bennet, G. Bellucci, R. Bianchini, R. Ambrosetti // J. Am. Chem. Soc. — 1990. — Vol. 112, № 17. — P. 6310–6316.
22. Herges R. Neues über die elektrophile Addition von Halogenen an Olefine // Angew. Chem. — 1995. — B. 107, № 1. — S. 57–59.
23. Lenoir D., Chiappe C. What is the Nature of the First-Formed Intermediates in the Electrophilic Halogenation of Alkenes, Alkynes, and Allenes? // Chem. Eur. J. — 2003. — Vol. 9, № 5. — P. 1037–1044.
24. Maier G., Senger S. Bromine Complexes of Ethylene and Cyclopropene: Matrix-IR-Spectroscopic Identification, Photochemical Reactions, Ab Initio Studies // Liebigs Ann./Recueil. — 1997. — № 2. — P. 317–326.
25. Roberts I., Kimball G. E. The Halogenation of Ethylenes // J. Am. Chem. Soc. — 1937. — Vol. 59, № 5. — P. 947–948.
26. Winstein S., Lucas H. J. The Loss of Optical Activity in the Reaction of the Optically Active erythro- and threo-3-Bromo-2-butanol with Hydrobromic Acid // J. Am. Chem. Soc. — 1939. — Vol. 61, № 10. — P. 2845–2848.
27. Winstein S., Buckles R. E. The Role of Neighboring Groups in Replace Reaction. I. Retention of Configuration in the Reaction of Some Dihalides and Acetoxyhalides with Silver Acetate // J. Am. Chem. Soc. — 1942. — Vol. 64, № 12. — P. 2780–2786.
28. Winstein S. The Role of Neighboring Groups in Replacement Reactions. III. Retention of Configuration in the 3-Bromo-2-butanol with Phosphorus Tribromide // J. Am. Chem. Soc. — 1942. — Vol. 64, № 12. — P. 2791–2792.
29. Jacques-Emile M. M., Mouvier G. Cinétique Chimique — Étude cinétique de l'addition du brome sur les oléfines. Influence de la structure sur la vitesse de bromation des oléfines aliphatiques // Compt. Rend. — 1964. — T. 259, № 13. — P. 2101–2104.
30. Lucas H. E., Gould C. W. The Conversion of the 3-Chloro-2-butanol to the 2,3-Dichlorobutanes; Evidence for a Cyclic Chloronium Intermediate // J. Am. Chem. Soc. — 1941. — Vol. 63, № 10. — P. 2541–2551.
31. Strating J., Wieringa J. H., Wynberg H. The Isolation of a Stabilized Bromonium Ion // J. Chem. Soc., Chem. Commun.(D). — 1969. — № 15. — P. 907–908.
32. Wieringa J. H., Strating J., Wynberg H. The Reaction of Chlorine with Adamantylideneadamantane // Tetrahedron Letters. — 1970. — № 52. — P. 4579–4582.
33. Rolston J. H., Yates K. Polar Additions to Styrene and 2-Butene Systems. I. Distribution and Stereochemistry of Bromination Products in Acetic Acid // J. Am. Chem. Soc. — 1969. — Vol. 91, № 6. — P. 1469–1476.
34. Influence of Solvent and Brominating Agent on the Steric Course of the Bromine Addition to 1-Phenylcyclohexene and 2-Phenyl-3-bromocyclohexene / P. L. Barili, G. Bellucci, F. Marioni, I. Morelli, V. Scartoni // J. Org. Chem. — 1973. — Vol. 38, № 20. — P. 3472–3478.
35. Electrophilic Additions to Indene and Indenone: Factors Effecting Syn Addition / G. E. Heasley, T. R. Bowler, K. W. Dougherty, J. C. Easdon, V. L. Heasley, S. Arnold, T. L. Carter, D. Yaeger, B. T. Gioe, D. F. Shellhamer // J. Org. Chem. — 1980. — Vol. 45, № 25. — P. 5150–5155.
36. Buckles R. E., Bader J. M., Thurmaier R. J. Stereospecificity of the Addition of Bromine to *cis*- and *trans*-Stilbene // J. Org. Chem. — 1962. — Vol. 27, № 12. — P. 4523–4527.
37. Дълоар М., Догерти Р. Теория возмущений молекулярных орбиталей в органической химии. — М.: Мир, 1977. — 695 с.
38. Electrophilic Bromination of Specifically Deuterated Cyclohexenes: A Combined Experimental and Theoretical Investigation / H. Siebocka-Tilk, A. Neverov, S. Motallebi, R. S. Brown, O. Donini, J. L. Gainsforth, M. Klobukowski // J. Am. Chem. Soc. — 1998. — Vol. 120, № 11. — P. 2578–2585.
39. Jin S. Q., Liu R. Z. Quantum-Chemical Study of Electrophilic Addition Reaction of Iodine to Ethylene // Int. J. Quantum Chem. — 1984. — Vol. 25. — P. 699–705.
40. Buckles R. E., Knaack D. F. Tetrabutylammonium Iodotetrachloride as a Chlorinating Agent // J. Org. Chem. — 1960. — Vol. 25, № 1. — P. 20–24.
41. Yamabe Sh., Minato T., Inagaki S. *Ab Initio* Structures of Transition States of Electrophilic Addition Reactions of Molecular Halogens with Ethene // J. Chem. Soc., Chem. Commun. — 1988. — № 4. — P. 532.
42. Fahey R. C., Scheider H.-J. Polar Addition to Olefins and Acetylenes. VI. Nonstereospecific Addition of Bromine to 1-Phenylpropene and *trans*-Anethole // J. Am. Chem. Soc. — 1968. — Vol. 90, № 16. — P. 4429–4434.
43. Rozen Sh., Brand M. Direct Addition of Elemental Fluorine to Double Bonds // J. Org. Chem. — 1986. — Vol. 51, № 19. — P. 3607–3611.
44. Merritt R. F., Johnson F. A. Direct Fluorination. Addition of Fluorine to Indenes and Acenaphthylenes // J. Org. Chem. — 1966. — Vol. 31, № 6. — P. 1859–1863.

45. Ionic reaction of Halogens with Terminal Alkenes: The Effect of Electron-Withdrawing Fluorine Substituents on the Binding of Halonium Ions / D. F. Shellhamer, J. L. Allen, R. D. Allen, D. C. Gleason, C. O. Schlosser et. al. // *J. Org. Chem.* – 2003. – Vol. 68, № 10. – P. 3932–3937.
46. Бородкин Г. И., Шубин В. Г. Перегруппировки катионных органических  $\sigma$ - и  $\pi$ -комплексов // Успехи химии. – 1995. – Т. 64, № 7. – С. 672–703.
47. Гоноровский И. Т., Назаренко Ю. П., Некряч Е. Ф. Краткий справочник по химии. – К.: Наукова Думка, 1987. – 829 с.
48. Dewar M. J. S., Ford G. P. Relationships between Olefinic  $\pi$ -Complexes and Three-Membered Rings // *J. Am. Chem. Soc.* – 1979. – Vol. 101, № 4. – P. 783–791.
49. Berman D. W., Anicich V., Beauchamp J. L. Stabilities of Isomeric Halonium Ions  $C_2H_4X^+$ (X=Cl, Br) by Photoionization Mass Spectrometry and Ion Cyclotron Resonance Spectroscopy. General Considerations of the Relative Stabilities of Cyclic and Acyclic Isomeric Onium Ions. // *J. Am. Chem. Soc.* – 1979. – Vol. 101, № 5. – P. 1239–1248.
50. Hehre W. J., Hiberty P. C. Theoretical Approaches to Rearrangements in Carbocations. I. The Haloethyl System // *J. Am. Chem. Soc.* – 1974. – Vol. 96, № 9. – P. 2665–2677.
51. *Onium* Ions. X. Structural Study of Acyclic and Cyclic Halonium Ions by Carbon-13 Nuclear Magnetic Resonance Spectroscopy. The Question of Intra- and Intermolecular Equilibration of Halonium Ions with Haloalkylcarbenium Ions / G. A. Olah, P. W. Westerman, E. G. Melby, Y. K. Mo // *J. Am. Chem. Soc.* – 1974. – Vol. 96, № 11. – P. 3565–3573.
52. Heublein G. Lösungsmittelleinflüsse auf die Stereospezifität der Bromaddition an *cis*- und *trans*-Stilben // *J. Prakt. Chem.* – 1966. – B. 31, № 1. – S. 84–91.
53. Rolston J. H., Yates K. Polar Additions to the Styrene and 2-Butene Systems. II. Medium Dependence of Bromination Products // *J. Am. Chem. Soc.* – 1969. – Vol. 91, № 6. – P. 1477–1483.
54. McManus S. P., Peterson P. E. Solvent Effects on Halonium Ion  $\rightleftharpoons$  Carbonium Ion Equilibria // *Tetrahedron Letters.* – 1975. – № 32. – P. 2753–2756.
55. Кинетика хлорирования 1,1-дихлорэтилена в присутствии аprotонных биполярных растворителей / И. В. Бодриков, А. И. Субботин, Г. А. Корчагина, З. С. Смолян // Кинетика и катализ. – 1969. – Т. 10, вып. 1. – С. 197–199.
56. Влияние растворителей на скорость присоединения брома к олефинам / Е. А. Шилов, Ю. А. Сергунев, Г. Б. Серпейв, В. В. Смирнов, В. А. Кофман // Докл. АН СССР. Сер.хим. – 1971. – Т. 197, № 5. – С. 1096–1099.
57. Bianchini R., Chiappe C. Stereoselectivity and Reversibility of Electrophilic Bromine Addition to Stilbenes in Chloroform: Influence of the Bromide-Tribromide-Pentabromide Equilibrium in the Counteranion of the Ionic Intermediates // *J. Org. Chem.* – 1992. – Vol. 57, № 24. – P. 6474–6478.
58. A Dynamic NMR Investigation of the Adamantylideneadamantane/Br<sub>2</sub> System. Kinetic and Thermodynamic Evidence for Reversible Formation of the Bromonium Ion/Br<sub>n</sub><sup>+</sup> Pairs / G. Bellucci, R. Bianchini, C. Chiappe, R. Ambrozetti, D. Catalano, A. J. Bennet, H. Slebocka-Tilk, G. H. M. Aarts, R. S. Brown // *J. Org. Chem.* – 1993. – Vol. 58, № 12. – P. 3401–3406.
59. Concentration Dependence of the Steric Course of the Bromine Addition to Arylalkenes. The Case of Stilbenes / G. Bellucci, R. Bianchini, C. Chiappe, F. Marioni // *J. Org. Chem.* – 1990. – Vol. 55, № 13. – P. 4094–4098.
60. Electrophilic Additions to Dienes and the 1-Phenylpropenes with Pyridine-Halogen Complexes and Tribromides. Effects on Stereochemistry and Product Ratios / G. E. Heasley, J. McCall Bundy, V. L. Heasley, S. Arnold, A. Gipe, D. McKee, R. Orr, S. L. Rodgers, D. F. Shellhamer // *J. Org. Chem.* – 1978. – Vol. 43, № 14. – P. 2793–2799.
61. Durai Manickam M. C., Pitchumani K., Srinivasan C. Addition of Bromine to *trans*-Stilbene: Reversal of Stereoselectivity upon Cyclodextrin Complexation // *Journal of Inclusion Phenomena and Macrocyclic Chemistry.* – 2002. – Vol. 43. – P. 207–211.
62. Rolston J. H., Yates K. Polar Additions to the Styrene and 2-Butene Systems. III. Kinetics and Linear Free Energy Relationships // *J. Am. Chem. Soc.* – 1969. – Vol. 91, № 6. – P. 1483–1491.
63. Ruasse M.-F., Dubois J.-E. Electrophilic Bromination of Aromatic Conjugated Olefins. I. Evaluation of a Competitive Path Mechanism in Bromination of Trans-Monosubstituted Stilbenes // *J. Org. Chem.* – 1972. – Vol. 37, № 11. – P. 1770–1778.
64. Dubois J.-E., Ruasse M.-F. Electrophilic Bromination of Aromatic Conjugated Olefins. II. The Mechanism of Dual-Path Additions in Stilbene Bromination. Evidence from Multiple Substituent Effects for Carbonium Ion Intermediates // *J. Org. Chem.* – 1973. – Vol. 38, № 3. – P. 493–499.

65. Preassociation, Free Ion, and Ion-Pair Pathways in the Electrophilic Bromination of Substituted *cis*- and *trans*-Stilbenes in Protic Solvents / Ruasse M.-F., Lo Moro G., Galland B., Bianchini R., Chiappe C., Bel-lucci G. // J. Am. Chem. Soc. – 1997. – Vol. 119, № 51. – P. 12492–12502.
66. Blumenthal M. Über Acenaphtylen // Chem. Ber. – 1874. – Bd. 7. – S. 1092–1095.
67. Cristol S. J., Stermitz F. R., Ramey P. S. Mechanisms of Elimination Reactions. XVII. The *cis*- and *trans*-1,2-Dichloroacenaphthenes; *trans*-1,2-Dibromoacenaphthene // J. Am. Chem. Soc. – 1956. – Vol. 78, № 19. – P. 4939–4941.
68. Campbell B. Contribution to the Study of Acenaphthylene and its Derivatives // J. Chem. Soc. – 1915. – Vol. 107. – P. 918–921.
69. Lasne M.-C., Masson S., Thuillier A. Chloration de Composés éthyléniques par le dichlorure d'iodobenzéne. III. Sélectivité des Chlorations radicalaires // Bull. Soc. Chim. France. – 1972. – № 12. – P. 4592–4596.
70. Соколов В. И., Троицкая Л. Л., Рейтова О. А. О стереохимии электрофильного присоединения к аценафтитлену // Журн. орган. химии. – 1969. – Т. 5, вып. 1. – С. 174–175.
71. Матье Ж., Панико Р. Курс теоретических основ органической химии. – М.: Мир, 1975. – 556 с.
72. Ингольд К. К. Теоретические основы органической химии. – М.: Мир, 1973. – 1055 с.
73. Терней А. Современная органическая химия: В 2 т. – М.: Мир, 1981. – Т. 1. – 678 с.
74. Анікін В. Ф., Левандовська Т. І. 1,2-Производные аценафтитлена. IX. Новые данные о присоединении галогенов к аценафтитлену // Журн. орган. химии. – 1988. – Т. 24, вып. 5. – С. 1064–1070.
75. Анікін В. Ф., Левандовська Т. І., Ганін Ю. Г. 1,2-Производные аценафтитлена. III. Синтез Z-1,2-дигидро-1,2-дигидроаценафтитлена // Журн. орган. химии. – 1986. – Т. 22, вып. 3. – С. 628–631.
76. Anikin V. F., Veduta V. V., Merz A. Stereochemistry of the Addition of Bromine to Acenaphthylene Derivatives: Substituent and Solvent Effects // Monatshefte für Chemie. – 1999. –Vol. 130, № 5. – P. 681–690.
77. Петренко Г. П., Усаченко В. Г. О цис- и транс-изомерах 1,2,5-трибромаценафтена // Журн. орган. химии. – 1968. – Т. 4, вып. 1. – С. 107–109.
78. Петренко Г. П., Анікін В. Ф., Усаченко В. Г. Цис-транс-изомерия и дипольные моменты 3-галогензамещенных 1,2-дигидроаценафтитлена // Журн. орган. химии – 1976. – Т. 12, вып. 11. – С. 2427–2429.
79. Геворкян А. А., Аракелян А. С., Петросян К. А. Ионно-парная версия хемо- и стереоселективности присоединения галогенов по двойной связи // Журн. орган. химии. – 2002. – Т. 72, вып. 5. – С. 821–827.
80. Abbasoglu R. Ab initio and DFT study of the inner mechanism and dynamic stereochemistry of electrophilic addition reaction of bromine to bisbenzotetracyclo-[6.2.2.2<sup>3,6</sup>.0<sup>2,7</sup>]tetradeca-4,9,11,13-tetraene // J. Mol. Model. – 2007. – Vol. 13. –P. 1215–1220.

**В. В. Ведута, В. Ф. Анікін, Н. Ф. Фед'ко**

Одеський національний університет імені І. І. Мечникова,  
кафедра органічної хімії,  
вул. Дворянська, 2, 65082, Одеса, Україна,  
e-mail: vera.veduta@mail.ru

**СУЧАСНІ УЯВЛЕННЯ ПРО ПРИЄДНАННЯ МОЛЕКУЛЯРНИХ ГАЛОГЕНИВ ДО  
ПОДВІЙНОГО КАРБОН-КАРБОНОВОГО ЗВ'ЯЗКУ**

**Резюме**

Розглянуто сучасні підходи до інтерпретації механизму реакції приєднання молекулярних галогенів до алкенів. Показано актуальність досліджень стереохімії приєднання з метою формування більш загальної моделі електрофільного галогенування.

**Ключові слова:** електрофільне приєднання, стереохімія, алкени, галогени, аценафтитлен

**V. V. Veduta, V. F. Anikin, N. F. Fed'ko**

I. I. Mechnikov Odessa National University,  
Department of Organic Chemistry,  
Dvoryanskaya St. 2., Odessa, 65082, Ukraine,  
e-mail: vera.veduta@mail.ru

**MODERN CONCEPTION OF MOLECULAR HALOGEN ADDITION TO CARBON-CARBON DOUBLE BOND**

**Summary**

The overview of modern mechanisms of electrophilic addition of molecular halogens to alkenes has been represented. The need of stereochemical study of this reaction has been shown.

**Keywords:** electrophilic addition, stereochemistry, alkenes, halogens, acenaphthylene